

Анализ затухания волн: L=760, DW=160, R=0.01

Параметры моделирования

- Длина образца: $L = 760$ м
- Ширина образца: $DW = 160$ м
- Коэффициент затухания: $R = 0.01$
- Модуль Юнга: E , Коэффициент Пуассона: ν , Плотность: ρ

Расчётные скорости волн

- Аналитическая скорость продольной волны: $v_p = 376.43$ м/с
- Аналитическая скорость поперечной волны: $v_s = 201.21$ м/с
- Аналитическая скорость Рэлеевской волны: $v_r = 186.35$ м/с
- Временной шаг: $\Delta t = 3.41e - 04$ с
- Экспериментальная скорость поперечной волны: $v_s^{exp} = 250.00$ м/с
- Экспериментальная скорость отраженной продольной волны: $v_p^{ref} = 192.25$ м/с
- Величина ошибки: $\varepsilon = 1.01e - 07$

Анализ прихода продольной волны

- Аналитическое время прихода продольной волны: $t_{analytical} = 2.02$ с
- Экспериментальный индекс прихода продольной волны: 6041
- Экспериментальное время прихода продольной волны: $t_{wave} = 2.06$ с
- Скорость пришедшей продольной волны: $v_p^{exp} = 369.17$ м/с
- Длина продольной волны в индексах: 1368
- Длина продольной волны в метрах: $\lambda_p = 172.07$ м

Анализ пересечения волн

- Экспериментальное время пересечения волн: $t_{intersection} = 2.61$ с
- Экспериментальный индекс пересечения волн: 7669
- Экспериментальное расстояние пересечения волн: $x_{intersection} = 653.35$ м
- Номер приемника, ближайшего к пересечению: 33
- Индекс прихода падающей волны через ресивер пересечения: 5246

Визуализация тензора

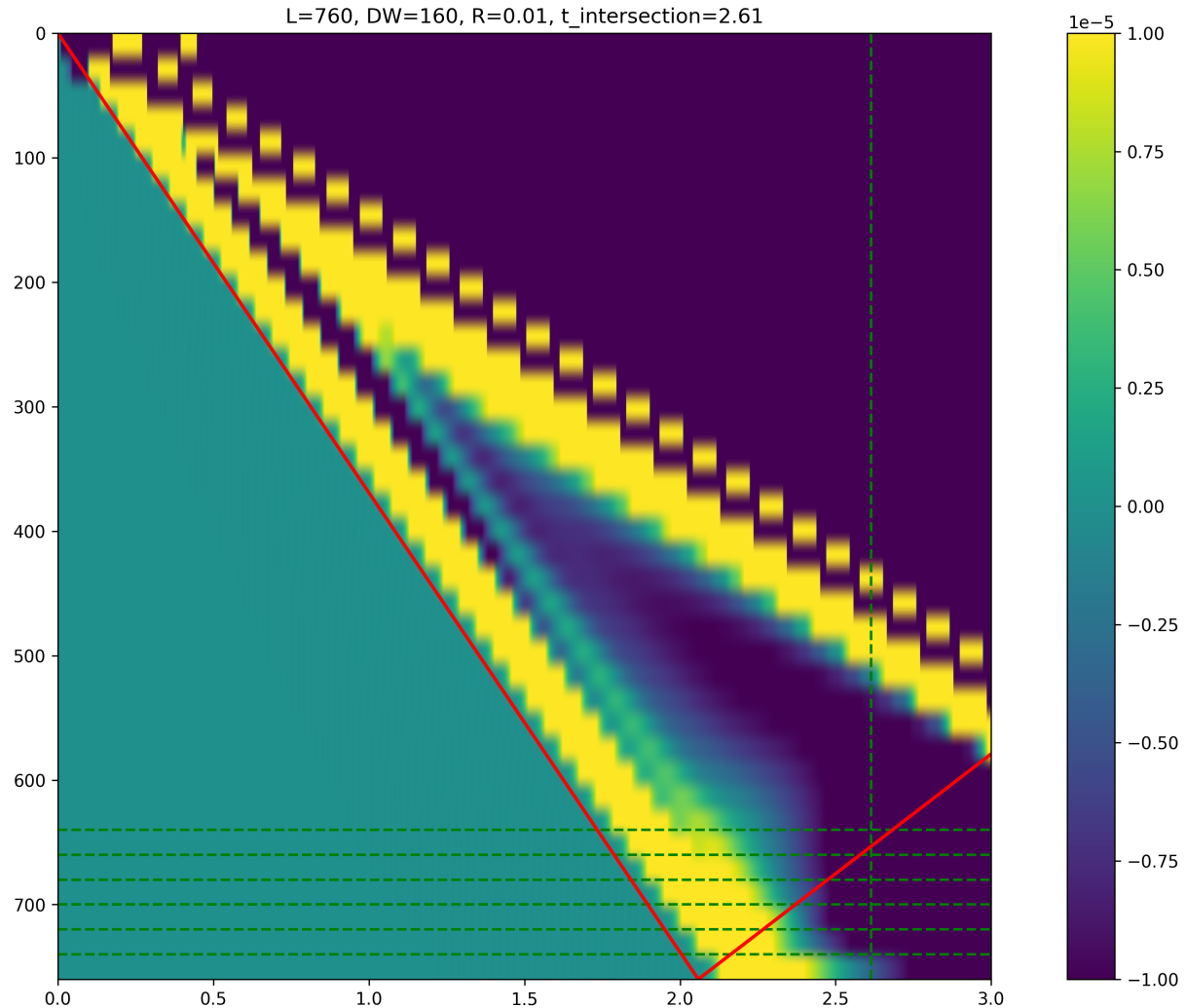


Рис. 1: Визуализация распространения волн в среде

Анализ волн

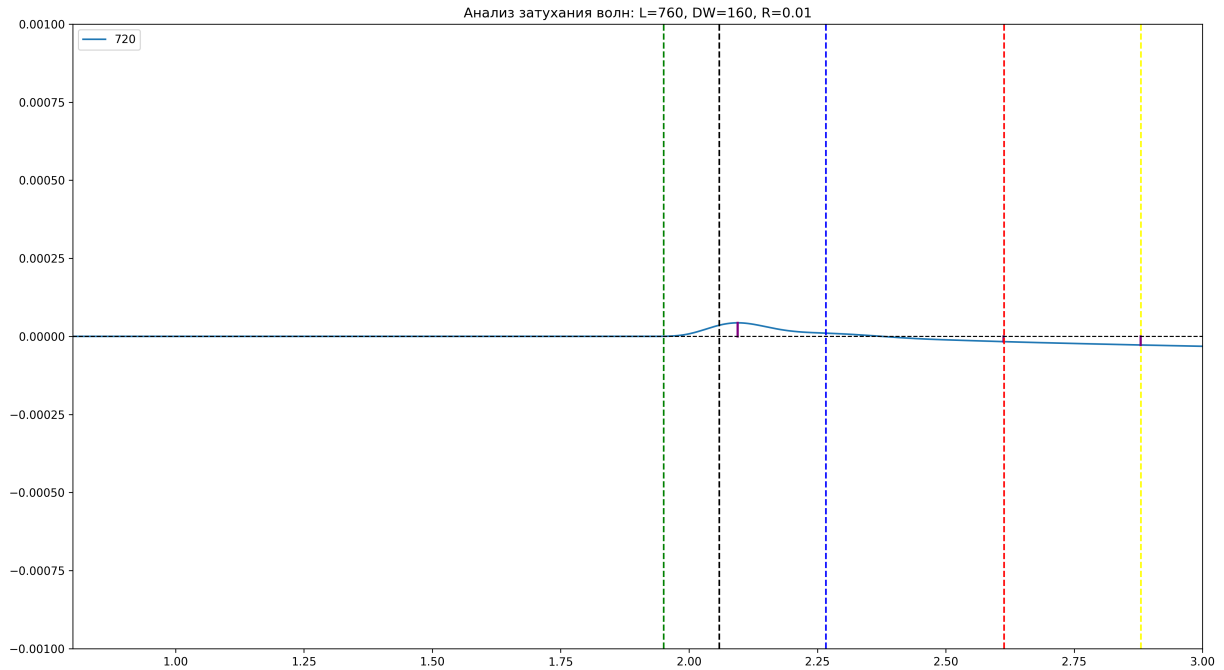


Рис. 2: Анализ падающих и отраженных волн

Результаты анализа амплитуд

Позиция (м)	$t_{p,fall}$ (с)	$t_{p,refl}$ (с)	$t_{s,fall}$ (с)	t_{int} (с)	$A_{p,fall}$	$A_{p,refl,0}$	$A_{p,refl,1}$	Ratio 0 (%)	Ratio 1 (%)
720.0	1.950	2.267	2.880	2.613	4.337e-05	1.687e-05	2.761e-05	38.90%	63.67%